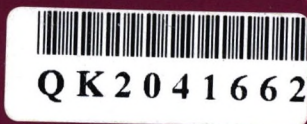


ISSN 1006-9011

CN 37-1426/R



QK2041662

医学影像学杂志

YI XUE YINGXIANGXUE ZAZHI

2020年8月 第30卷 第8期

JOURNAL

OF

MEDICAL

IMAGING

Volume 30 Number 8

August 2020

中国科学技术部中国科技论文统计源期刊
中国科技核心期刊
中国生物医学核心期刊
中国科学引文数据库来源期刊
美国《剑桥科学文摘》来源期刊
英国《科学文摘》来源期刊
俄罗斯《文摘杂志》来源期刊

ISSN 1006-9011



08>

9 771006 901202

万方数据

医学影像学杂志

JOURNAL OF MEDICAL IMAGING

月刊 1990年10月创刊 第30卷 第8期 2020年8月30日出版

中华人民共和国科学技术部批准

主管

山东省卫生健康委员会

主办

山东省医学影像学研究所

山东省医学影像学研究会

编辑出版

《医学影像学杂志》编辑部

250021 济南市经四纬九路37号

电话:0531-87920996 87031478

电子信箱:yxyxzz@126.com

网址: <http://www.medimg.org>

投稿系统: <http://www.medimg.org>

主编

赵斌

副主编

马祥兴 孙钢 王滨 徐文坚

王涛 王光彬 王锡明 刘奉立

邵广瑞 齐先龙 毕万利

编辑部主任

崔国明

广告经营许可证:

鲁工商广字第3700004000098号

印刷

济南红日印刷有限公司

发行

济南市报刊发行局

订购

全国各地邮政局

邮发代号:24-134

邮购

《医学影像学杂志》编辑部

250021 济南市经四纬九路37号

国内定价

每期15元 全年180元

中国标准连续出版物号

ISSN 1006-9011

CN 37-1426/R

目次

论著

- 急性脑梗死后胼胝体压部可逆性病变 MRI 表现(附4例报道)
..... 高佩虹,邵 硕,郑 宁,等(1337)
- 中耳先天性胆脂瘤的影像学分析 李 静,唐欣薇,王振常(1341)
- CT灌注成像与MR灌注成像诊断急性缺血性脑卒中的对比研究
..... 刘妹兰,宋震宇,余 飞,等(1345)
- SWI-SVS与MRA在大脑动脉闭塞评估中的应用
..... 王立爽,马亚光,赵红梅(1349)
- CT对动脉瘤性蛛网膜下腔出血患者脑池血容量与迟发性脑出血
的相关性分析 彭小健,尚立宏,宋 健(1353)
- 彩色多普勒超声对甲亢患者甲状腺血流分级与功能指标的关系研
究 张玲云,张国全,贾 涛,等(1357)
- 双源CT前瞻性心电门控技术诊断婴幼儿先天性心脏病的价值
..... 陈 伟,杜 靖,吕 帆,等(1361)
- 超声心动图对早产儿动脉导管未闭封堵术后的左心室功能的改变
分析 赵 磊,赵 皓,李卫国(1365)
- 超声造影引导下穿刺活检对前纵膈肿瘤的诊断价值
..... 陈 洁,吴卫华,王 雷,等(1369)
- MSCT在肺隔离症诊断中的应用价值
..... 王乃武,王君鑫,刘军峰,等(1372)
- DWI在鉴别中心型肺癌与阻塞性肺不张中的应用
..... 乔香梅,陆 锐,马 苗,等(1376)
- 新型冠状病毒肺炎胸部高分辨率CT影像分期与鉴别
..... 蔡冠晖,陈文波,曾玉蓉,等(1380)
- 探讨EVO CT低剂量扫描在确诊新型冠状病毒肺炎复查诊断中的
应用 宣伟玲,张 燕,李运江,等(1384)
- 原发性乳腺弥漫性大B细胞淋巴瘤的临床特点、MRI表现、治疗
方式与预后关系分析 范林音,邵国良,朱 秀,等(1388)
- 乳腺浸润性导管癌细胞周期素D1蛋白的表达与其MRI征象的分
析 李 雯,郭依廷,李大华(1394)
- MR DWI直方图在Luminal型与非Luminal型乳腺癌中的鉴别分
析 刘红霞,朱庆章,赵 霞,等(1398)
- 乳腺X线摄影联合DW-MRI在致密性乳腺肿瘤筛查中的应用价
值 陈佩佩,邵广瑞,赵素红,等(1402)
- 非哺乳期乳腺炎的超声、乳腺X线摄影和MRI表现特征
..... 刘玮玮,张明辉,冯鑫至,等(1407)
- 胃肠道间质瘤的MSCT征象与临床病理的对照研究
..... 宋学林,刘玉霞,杨世锋,等(1412)
- 原发性肠道T细胞淋巴瘤与B细胞淋巴瘤的CT小肠造影对比研
究 倪 铭,冯卫华,于 澜,等(1418)

本刊如有印装质量问题,请将原杂志寄回编辑部,由本刊负责调换

钆塞酸二钠增强 MRI 联合残余肝脏体积法在肝脏储备功能评估的价值	刘永光,杨 忠,马 捷,等(1423)
C 臂 CT 引导下经皮穿刺射频消融术治疗原发性肝癌的临床应用	王 涛,姜文进,郑延波,等(1428)
肝内胆管细胞癌与不典型肝脓肿的 CT 和 MRI 鉴别诊断	元 燕,郭 静,周秀会,等(1433)
胆囊神经内分泌癌的 CT 表现分析	刘荫荣,杨秀清,任伟霞,等(1437)
肾静脉变异的 CT 表现及临床意义	杨 玲,梁 波,胡少平(1441)
肾脏嗜酸细胞腺瘤的超声表现及病理对照分析	邹淑丽,刘翠红,赵 斌,等(1445)
动脉栓塞术治疗膀胱癌伴出血的围术期护理	宫树芝,张晶珠,刘 慧,等(1449)
PI-RADS v2 评分联合 PSA、PSAD 检测在有临床意义前列腺癌中的诊断价值	黄国权,蔡二朋,徐 芳,等(1452)
卵巢卵泡膜纤维瘤组肿瘤 MRI 表现与病理对照分析	王运韬,曹喜生,陈兴发,等(1457)
三维超声成像技术在产后早期盆底结构评估中的应用价值	王亚萍,李爱丽,何明林(1461)
三维能量多普勒超声评价胎盘植入的可行性研究	孟宛欣,王光彬(1466)
子宫动脉、胎儿脐动脉和大脑中动脉血流频谱对妊娠高血压的价值	郝晓英,高 冰,任 郁,等(1470)
3.0T MRI T ₂ * mapping 评估儿童血友病性关节病膝关节软骨的价值	曾伟彬,曹卫国,方佃刚,等(1474)
彩色多普勒超声在诊断下肢深静脉血栓形成后继发性动静脉瘘形成中的临床价值	贾洪波,张先东,王铁铮,等(1479)

实验研究

DTI 在评价神经调节蛋白-1 对大鼠脊髓损伤保护作用中的价值	袁淑绘,姜 晶,王德伟,等(1482)
二维斑点追踪成像评价低温环境下兔左室心肌圆周运动	王冬妮,曹军英(1486)

综 述

腹膜后炎性肌纤维母细胞瘤的影像学诊断进展	张克宇,陈 力(1490)
PINK1 特性及其作用的研究进展	李 阳,李洪蕊,杨倩倩(1494)

短篇论著

急性蛛网膜下腔出血:首诊正常 CTA 的再分析	林 旭,高 飞,王 伟,等(1498)
MRI 常规序列与 SWI 诊断足月新生儿 HIE 颅内出血灶的价值	徐松艳,侯艳霞,付德利,等(1501)
CTA 与 DSA 诊断脑动脉瘤的临床应用分析	王大伟,潘 博,顾晓艳,等(1504)
齿状突加冠综合征的临床及 MSCT 分析	王 洲,支忠午,樊益富,等(1507)
颅骨额部骨膜窦 CT 与 MRI 表现	常晓华,罗应斌,史天亮,等(1509)
心脏彩超检查联合血清白蛋白对慢性心衰患者预后的评估价值	闫 琼,王晶萍,吴晓明,等(1512)
超声心动图与 PCI 择期对急性心肌梗死患者左室重构及心功能评估	肖 露,褚 雯,王 华(1516)
体位及肺容量对肺下垂部小磨玻璃结节在 CT 影像学征象的影响	曹立芝,杨丰才,张常青,等(1519)
CTA 技术在咯血患者介入诊断和治疗中的临床应用价值	程宋来,李佩如,吕洁霞,等(1522)
伴有破骨细胞样巨细胞的胰腺未分化癌 MRI 表现与病理分析	王梦辰,潘江峰,李昂成,等(1526)
高强度聚焦超声消融子宫肌瘤对患者内分泌水平和生育功能的影响	郭启龙,门永忠,李 玲,等(1529)
经阴道超声检查对卵巢癌术后复发及淋巴结转移的诊断价值	余婧婧,汪鲁清,刘 国(1532)
经会阴超声与尿动力学评估子宫全切除术后压力性尿失禁的临床价值	朱丽华,王春丽,苏 洁(1535)
脊柱化脓性感染的影像学诊断与鉴别诊断	张 霞,王军峰,张德增,等(1539)

短篇报告

胎盘羊膜囊肿 MRI 诊断 1 例	逢利博,陈 刚(1340)
食管壁内血肿 1 例	李志军,潘 征,冀小妍(1352)
胃炎性肌纤维母细胞瘤 CT 表现 1 例	吴晓兵,张宏彬,陈佩江,等(1387)
超声心动图诊断嵌入室间隔的金属异物 1 例	叶玉妹,王恺婧,陈秋相,等(1401)
膀胱炎性肌纤维母细胞瘤 1 例	梁玲俐,周雁玲,谭利华(1411)
卵巢甲状腺肿性类癌超声诊断 1 例	魏美文,叶华容,罗喻苗,等(1427)
憩室样腺性输尿管炎超声表现 1 例	尤庆锋,杜虎城(1440)
超声诊断甲状腺淋巴瘤 1 例	沙启梅,李 霞,刘 慧(1451)
睾丸原发性神经内分泌肿瘤超声造影表现 1 例	罗 雪,杨秀琼,张玉霖,等(1465)
肺纤毛黏液结节性乳头状肿瘤 1 例	张吉琛,罗 艳,王 军(1489)
首发表现为胃肠道症状的异位甲状旁腺腺瘤 1 例	黄 颖,程 刚(1543)
肺上皮样血管内皮瘤 1 例	孙 璐,谢琦涛,张宏彬(1544)
老年男性乳腺癌在 X 线及 CT 影像学特征分析 2 例	杨 萍,赵学龙(1546)

《医学影像学杂志》2020 年稿约	(1548)
-------------------------	--------

责任编辑: 时季成 崔国明

英文编辑: 李建峰

责任排版: 季维秋

Approval

Ministry of Scientific Technology, China

Responsible Institution

Health Commission of Shandong Province

Sponsor

Shandong Provincial Medical Imaging Research Institute
Shandong Provincial Medical Imaging Research Society

Editing and Publishing

Editorial Board of Journal of Medical Imaging
250021 Jingsi-Weijiu Road No 37, Jinan
Tel: 0531-87920996
0531-87031478
E-mail: yxyxzz@126.com
<http://www.medimg.org>

Editor-in-Chief

ZHAO Bin

Associate Editor

MA Xiangxing	SUN Gang
WANG Bin	XU Wenjian
WANG Tao	WANG Guangbin
WANG Ximing	LIU Fengli
SHAO Guangrui	QI Xianlong
BI Wanli	

Managing Director

CUI Guoming

Printing

Shimao Printing Business Co. Ltd, Jinan

Distributor

Jinan Newspaper and Magazine Distribute Office

Order

Post Office in Everywhere, China
CN24-134

Mail-Order

Editorial Board of Journal of Medical Imaging
250021 Jingsi-Weijiu Road No 37, Jinan

CSSN

ISSN 1006-9011
CN 37-1426/R

CONTENTS

Articles

- MRI features of transient lesion of the splenium of the corpus callosum after acute ischemic stroke: report of 4 cases** GAO Peihong, SHAO Shuo, ZHENG Ning, et al(1337)
- Image findings of congenital cholesteatoma in middle ears** LI Jing, TANG Xinwei, WANG Zhenchang(1341)
- CT perfusion imaging and perfusion weight imaging in the diagnosis of acute ischemic stroke** LIU Shulan, SONG Zhenyu, YU Fei, et al(1345)
- Application of SWI-SVS and MRA in evaluation of cerebral artery occlusion** WANG Lishuang, MA Yaguang, ZHAO Hongmei(1349)
- The correlation between cisternal blood volume and delayed cerebral hemorrhage in patients with aneurysmal subarachnoid hemorrhage by CT** PENG Xiaojian, SHANG Lihong, SONG Jian(1353)
- Study on the associations between color Doppler ultrasound grading of hyperthyroidism and the indexes of thyroid function** ZHANG Lingyun, ZHANG Guoquan, JIA Tao, et al(1357)
- Clinical application value of dual source CT prospective electrocardiogram control in diagnosis of congenital heart disease in infants** CHEN Wei, DU Jing, LYU Biao, et al(1361)
- Analysis of the changes of left ventricular function after transcatheter closure of patent ductus arteriosus in premature infants by echocardiography** ZHAO Lei, ZHAO Hao, LI Weiguo(1365)
- Clinical value of contrast-enhanced ultrasound-guided biopsy in diagnosis of anterior mediastinal tumor** CHEN Jie, WU Weihua, WANG Lei, et al(1369)
- The application value of MSCT in clinical diagnosis and treatment for pulmonary sequestration** WANG Naiwu, WANG Junxin, LIU Junfeng, et al(1372)
- The application of DWI in the differentiation of central bronchogenic carcinomas from obstructive atelectasis** QIAO Xiangmei, LU Rui, MA Miao, et al(1376)
- High resolution CT for the novel coronavirus pneumonia (COVID-19) on imaging staging and differentiation** CAI Guanhui, CHEN Wenbo, ZENG yurong, et al(1380)
- Exploration of the application of low-dose scan with EVO CT in the diagnosis of novel coronavirus pneumonia** XUAN Weiling, ZHANG Yan, LI Yunjiang, et al(1384)
- Analysis of the relationship between clinical features, magnetic resonance imaging, treatment and prognosis of primary breast diffuse B cell lymphoma** FAN Linyin, SHAO Guoliang, ZHU Xiu, et al(1388)
- Correlative Study of MRI features and expressions of CyclinD1 protein in invasive ductal carcinoma of the breast** LI Wen, GUO Yiting, LI Dahua(1394)
- Differential analysis between luminal type and non-luminal type breast cancer by diffusion-weighted MRI histogram analysis** LIU Hongxia, ZHU Qingzhang, ZHAO Xia, et al(1398)
- The value of mammography combined with DW-MRI in dense breast screening** CHEN Peipei, SHAO Guangrui, ZHAO Suhong, et al(1402)
- Ultrasonographic, mammography and magnetic resonance imaging features of non-lactation mastitis** LIU Weiwei, ZHANG Minghui, FENG Xinzhi, et al(1407)
- A comparative study of multi-slice spiral CT features and clinicopathology of Gastrointestinal stromal tumors** SONG Xuelin, LIU Yuxia, YANG Shifeng, et al(1412)
- The comparative study of CT enterography in primary intestinal T-cell and B-cell lymphoma** NI Ming, FENG Weihua, YU Lan, et al(1418)
- Application value of Gd-eob-dtpa enhanced MRI combined with residual liver volume assessment in assessment of pre-hepatectomy reserve function** LIU Yongguang, YANG Zhong, MA Jie, et al(1423)
- Clinical application of C-Arm cone beam computed tomography guided percutaneous radiofrequency ablation in the treatment of hepatocellular carcinoma** WANG Tao, JIANG Wenjin, ZHENG Yanbo, et al(1428)

Study on the differential value of CT and MRI between intrahepatic cholangiocarcinoma and atypical hepatic abscess	QI Yan, GUO Jing, ZHOU Xiuhui, et al(1433)
Analysis of CT manifestations of neuroendocrine carcinoma of gallbladder	LIU Yinrong, YANG Xiuqing, REN Weixia, et al(1437)
CT findings of renal vein variation and its clinical significance	YANG Ling, LIANG Bo, HU Shaoping(1441)
Ultrasonic features of renal oncocytoma: comparison with pathological findings	ZOU Shuli, LIU Cuihong, ZHAO Bin, et al(1445)
Perioperative nursing of arterial embolization for the treatment of hematuria secondary to bladder carcinoma	GONG Shuzhi, ZHANG Jingzhu, LIU Hui, et al(1449)
The diagnostic value of PI-RADS v2 score combined with PSA, PSAD in clinical significant prostate cancer	HUANG Guoquan, CAI Erpeng, XU Fang, et al(1452)
Ovarian Fibrothecomas: MRI findings and clinical pathology	WANG Yuntao, CAO Xisheng, CHEN Xingfu, et al(1457)
Application of three-dimensional ultrasound imaging in pelvic floor structural assessment in early postpartum period	WANG Yaping, LI Aili, HE Mingzhu(1461)
Diagnostic value of three-dimensional power Doppler ultrasound in placental implantation	MENG Xianxin, WANG Guangbin(1466)
The value of uterine artery, fetal umbilical artery and middle cerebral artery blood flow spectrum in the diagnosis of pregnancy-induced hypertension syndrome	HAO Xiaoying, GAO Bing, REN Yu, et al(1470)
The value of 3.0T MRI T ₂ * mapping in the evaluation of knee cartilage in children with hemophilic arthropathy	ZENG Weibin, CAO Weiguo, FANG Diangang, et al(1474)
The clinical value of colour Doppler ultrasonography in the diagnosis of secondary arteriovenous fistula formation after lower extremity venous thrombosis	JIA Hongbo, ZHANG Xiandong, WANG Tiezheng, et al(1479)

Experimental Research

The value of DTI in evaluating the protective effect of neuregulin-1 on spinal cord injury in rats	YUAN Shuhui, LOU Jing, WANG Dewei, et al(1482)
The circular motion of left ventricular myocardium evaluated by two-dimensional speckle tracking imaging under low temperature	WANG Dongni, CAO Junying(1486)

Reviews

The progress in radiological imaging of retroperitoneal inflammatory myofibroblastic tumor	ZHANG Keyu, CHEN Li(1490)
Progress in study on the traits and roles of PINK1	LI Yang, LI Hongrui, YANG Qianqian(1494)

Brief Articles

Acute subarachnoid hemorrhage: reanalysis of first-diagnosed normal CTA	LIN Xu, GAO Fei, WANG Wei, et al(1498)
Value of MR routine sequence and magnetic susceptibility weighted imaging in diagnosis of intracranial hemorrhagic lesions in full-term neonates with HIE	XU Songyan, HOU Yanxia, FU Deli, et al(1501)
Clinical value of CTA and DSA in the diagnosis of cerebral aneurysm	WANG Dawei, PAN Bo, GU Xiaoyan, et al(1504)
The clinical and MSCT analysis of the odontoid process of the axial vertebra and crown syndrome	WANG Zhou, ZHI Zhongwu, FAN Yifu, et al(1507)
CT and MRI findings of frontal periosteal sinus of skull	CHANG Xiaohua, LUO Yingbin, SHI Tianliang, et al(1509)
Evaluation of the long-term prognosis of the patients with chronic heart failure by CDFI and serum albumin	YAN Qiong, WANG Jingping, WU Xiaoming, et al(1512)
The value of echocardiography in the assessment of wall motion and cardiac function changes in different periods before and after PCI	XIAO Lu, CHU Wen, WANG Hua(1516)
Effect of lung volume and gravity on the CT imaging signs of small ground-glass nodules	CAO Lizi, YANG Fengcai, ZHANG Changqing, et al(1519)
Clinical value of CTA in interventional diagnosis and treatment of hemoptysis patients	CHENG Songlai, LI Peiru, LYU Jixia, et al(1522)
MRI features and pathological analysis of undifferentiated carcinoma with osteoclast-like giant cells of the pancreas	WANG Mengchen, PAN Jiangfeng, LI Angcheng, et al(1526)
Effects of HIFU ablation on endocrine level, intimal morphology and reproductive function in patients with uterine myoma	GUO Qilong, MEN Yongzhong, LI Ling, et al(1529)
The value of transvaginal ultrasonography in the diagnosis of recurrent and lymph node metastasis in patients with ovarian cancer	YU Jingjing, WANG Luqing, LIU Guo(1532)
The clinical value of perineum ultrasonography and urodynamics in the evaluation of stress urinary incontinence after hysterectomy	ZHU Lihua, WANG Chunli, SU Jie(1535)
Imaging diagnosis and differential diagnosis of pyogenic infection of spine	ZHANG Xia, WANG Junfeng, ZHANG Dezeng, et al(1539)

Reports

MR diagnosis of placental amniotic cyst: one case report	PANG Libo, CHEN Gang(1340)
Intramural esophageal hematoma: one case report	LI Zhijun, PAN Zheng, JI Xiaoyan(1352)
Gastritis myofibroblastic tumor on CT: one case report	WU Xiaobing, ZHANG Hongbin, CHEN Peijiang, et al(1387)
Echocardiographic diagnosis of metallic foreign body embedded in ventricular septum: one case report	YE Yumei, WANG Kaijing, CHEN Qiuxiang, et al(1401)
Inflammatory myofibroblastic tumor of urinary bladder: one case report	LIANG Lingli, ZHOU Yanling, TAN Lihua(1411)
Ultrasound analysis of primary strumal carcinoid tumor of the ovary: one case report	WEI Meiwen, YE Huarong, LUO Yumiao, et al(1427)
Ultrasonographic manifestations of diverticular adenoid ureteritis: one case report	YOU Qingfeng, DU Hucheng(1440)
Lymphoma of the thyroid diagnosed by ultrasound: one case report	SHA Qimei, LI Xia, LIU Hui(1451)
Contrast-enhanced ultrasonography findings of primary testicular neuroendocrine tumor: one case report	LUO Xue, YANG Xiuqiong, ZHANG Yulin, et al(1465)
Ciliated muconodular papillary tumor: one case report	ZHANG Jichen, LUO Yan, WANG Jun(1489)
Ectopic parathyroid adenoma with gastrointestinal symptoms: one case report	HUANG Ying, CHENG Gang(1543)
pulmonary epithelioid hemangioendothelioma: one case report	SUN Lu, XIE Qitao, ZHANG Hongbin(1544)
X-ray and CT imaging features in elderly male breast cancer: analysis of two cases	YANG Ping, ZHAO Xuelong(1546)

Editor-on-Duty: SHI Jicheng CUI Guoming English-Editor: LI Jianfeng Type setting on Duty: JI Weiqiu



钆布醇——高浓度磁共振对比剂

高浓度高弛豫率 —— 卓越的成像质量
稳定的大环状结构 —— 低NSF风险

加乐显®1.0
钆布醇注射液

简短处方

【药品名称】

商品名称: 加乐显® Gadovist

【成份】本品主要成份为钆布醇。

【适应症】用于诊断, 仅供静脉内给药。颅脑和脊髓磁共振成像(MRI)的对比增强; 对比增强磁共振血管造影(CE-MRA)。

【用法用量】加乐显®仅供静脉内注射。剂量应依据年龄、体重、临床情况和检查目的进行调整, 详见说明书。

【不良反应】在接受本品的患者中常观察到的($\geq 0.5\%$) 药物不良反应为头痛、恶心和头晕; 少见的(发生率 $\geq 0.1\%$ 至 $< 1\%$) 不良反应包括: 超敏/过敏反应、头晕、味觉障碍、感觉异常、呼吸困难、呕吐、红斑、瘙痒、皮疹、注射部位反应和热感。在接受本品的患者中观察到的最严重的药物不良反应有心脏停搏和严重的过敏反应(包括呼吸停止和过敏性休克)。极少观察到迟发性过敏反应(若干小时或长达几天后)。大部分不良反应为轻度到中度。详见说明书。

【禁忌】

对本品的组成成分过敏者禁用。对其它钆螯合物有过敏反应或可疑过敏反应史的患者也不应使用本品。

【注意事项】

对于已知对钆布醇注射液过敏的患者, 必须谨慎评估风险/收益。在有既往对比剂过敏反应史、支气管哮喘史、过敏性疾病史患者中使用本品, 发生过敏反应的危险性会升高。与其它对比增强诊断过程一样, 建议对患者进行操作后观察。对过敏反应进行医疗处理并建立急救措施是必要的。

至今未观察到本品会损害肾功能。在肾功能严重损害的患者中, 对比剂的清除将延迟, 因此必须谨慎地对其进行风险/收益评估。再次给予钆布醇前, 应保证钆布醇已在充分的时间段内经肾排泄。正在接受透析的患者, 使用钆布醇注射液后立即进行血液透析可能有助于清除体内的该药物。已有报告肾源性系统性纤维化(NSF)的发生与急性或慢性重度肾损伤($GFR < 30\text{ml/min/1.73m}^2$)及因肝肾综合症或肝移植围手术期引起的急性

肾功能不全的患者使用一些含钆对比剂(包括本品)有关, 对于这些患者, 应避免使用含钆对比剂, 除非必须提高诊断的可信度且不能通过非对比磁共振检查(MRI)或其它方法获得。中重度肾功能损伤($GFR 30-59\text{ ml/min/1.73m}^2$)发生NSF的风险还不确定, 因此本品用于这类患者时要加以警惕。

给予高剂量的钆布醇注射液可能在一些患者中延长心电图QT间期。推荐对潜在的心脏影响进行仔细的风险评估。具有风险因素的患者在注射钆布醇注射液后应该至少观察一小时。

对于癫痫阈值低的患者, 需要特别小心。静脉注射钆布醇注射液至小内腔血管时有可能发生发红, 肿胀等不良反应。

关于更详细的注意事项详见说明书, 请见说明书。

【药物分类】处方药

【持证商】Bayer Vital GmbH

【生产企业】

企业名称: Bayer Pharma AG

生产地址: 13342, Berlin, Germany

【说明书版本】

核准日期: 2009年10月10日

修改日期: 2015年1月08日

关于本产品完整的处方信息请参阅产品说明书。

万方数据